

関西大学工学部 正員・西田一彦  
関西大学工学部 正員 香川満

### 1. まえがき

著者らはマサ土の工学的性質に及ぼす土粒子特性の影響を重視し、すでに、風化度の異なる長石粒子についてセン断特性を明らかにした。その結果、セン断強度の風化度による差異が主に土粒子内空隙比に依存していることを示した。<sup>1)</sup> 今回は自然の鉱物組成をもつマサ土のセン断特性と三軸圧縮実験により明らかにしたので報告する。

### 2. 実験方法

試料は六甲山系から採取した風化度の異なる2種類のマサ土である。これらの諸常数は表-1のとおりであり、粒度の影響を除くため人工的に0.074~2.0mm 同一に調整したものである。風化度の尺度としてはカサ比重( $G_a$ )を用いている。これは土粒子内空隙比を土粒子の一部とみなしたときの比重でその測定法はすでに報告した。<sup>2)</sup> また両者の鉱物組成はほとんど同じで有色鉱物量は5%以下である。これら2種類の試料を干燥状態、水浸饱和状態の二状態で同ゲキ比を複数変えて三軸試験を実施した。荷重速度は乾燥の場合19%/min、飽和の場合、同ゲキ水压を発生させない限度として0.5%/minで排水状態を行なった。

### 3. 実験結果とその考察

上記の2種類の試料について行なった結果中で、乾燥試料の同ゲキ比平均0.815の場合の例を示したのが図-1である。これから風化の進んだ試料N0.2はN0.1に比べ同一同ゲキ比でも小さなヒズミの所で軸差応力のピークが現われる。図-1のピーク臭をとつてモール円によりて $\sigma_3-\sigma$ 曲線を書くと図-2のようになる。これから、N0.2試料はN0.1の小さい範囲ではN0.1よりも大きくなり、しかしも $\sigma_3$ の増大とともに曲線の勾配が減少してN0.1の方の値に近づく傾向を示し、さらに $\sigma_3$ が増大するとN0.1よりやや小さくなる。一方N0.1試料はほとんど一定勾配の直線として表現さ

試料	風化度	真比重( $G_s$ )	かさ比重( $G_a$ )	粒度
N0.1	小	2.635	2.379	0.075~2.0mm
N0.2	大	2.621	2.050	同上

表-1

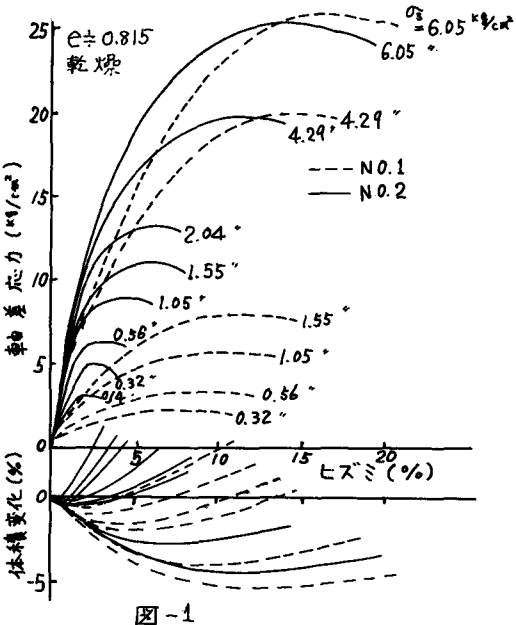


図-1

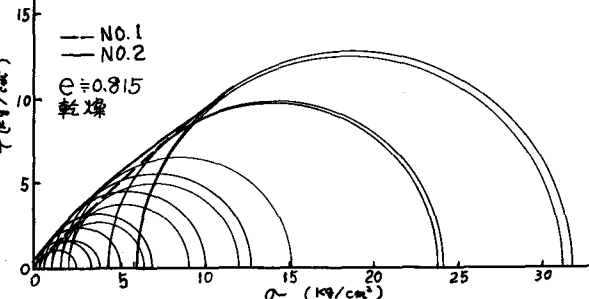


図-2

れる。また包絡線は原点を通らず粘着力が存在するかのように見える。このように包絡線の勾配は  $\sigma$  によって異なるので、いま  $\sigma < 3 \text{ kg/cm}^2$  の範囲で包絡線上で求まる  $\sigma/\sigma_e$  の値を試料、状態、向ヶヶ比の種々異なる場合について読みとり図示すると図-3のようになる。これによると、No.2の方がNo.1に比べ同一向ヶヶ比ではるかに大きい  $\sigma/\sigma_e$  の値を与える。そこでいま向ヶヶ比を  $G_a$  を用いて算出した向ヶヶ比  $e_e$  (かりに有効向ヶヶ比と呼ぶ) によって整理し直すと図-3の右実線の形に集まる。そしてほとんびこの実線に一致する傾向を示す。このことは、 $\sigma_3$  の小さい場合、せん断強度は土粒子内空ゲキよりも土粒子外空ゲキ量の多少に支配されること意味する。しかし、 $\sigma_3$  が増大すると図-2でわかるように  $e_e$  も  $e_{e_0}$  よりもむろろに支配される傾向を示すことは拘束圧の増大とともに土粒子破碎(巣石の破碎)によって土粒子内空ゲキが土粒子外空ゲキに移行する結果によるものと考えられる。なお図-3の矢印で示した実線は飽和した場合の結果であり、風化の進んだNo.2かとくに著しく強度低下を示す。

さて、このような強度の変化が何によるかを考えると、せん断強度が土粒子間マツン角  $\phi_i$  とダイラタンシーの成分  $(d\psi_e)/(\psi_e)$  よりなるとする Rowe の式により

$$\frac{\sigma_i}{(1 + d\psi_e)} = \sigma_3 \tan^2(45^\circ + \frac{\phi_i}{2})$$

整理を行なってみると、その結果は図-4, 5のようだ。風化度や含水状態によらずほど原点を通る一定勾配の直線となり、マサ土の強度の変化が主としてダイラタンシーによるものであることが明らかとなつた。しかし、図-4で図の小小所で直線から離れるものについては別の考慮をする必要があると考えられるので今後対応せねばならない。

## 5. あとがき

マサ土のせん断強度は風化度(土粒子内空ゲキ)に密接な関係があり、その影響は拘束圧の増大にともなう土粒子破碎によって解消される。またせん断強度の変化はダイラタンシーに大きく依存する。

### 参考文献

- 1) 西田・菅川(1970) マサ上の土粒子特性とせん断特性について、日本地質学会関西支部講演概要, pp. II-6~7.
- 2) 松尾・西田(1970) The Properties of Decomposed Granite Soils and their Influence on Permeability, Soils and Foundations, Vol. 10, No. 1, pp. 73~105.
- 3) D. W. Rowe, D. B. Oakes and N. A. Skemmer (1963) The Stress-Dilatancy Performance of two Clays. A.S.T.M. Special Publication, No. 316, pp. 134~143.

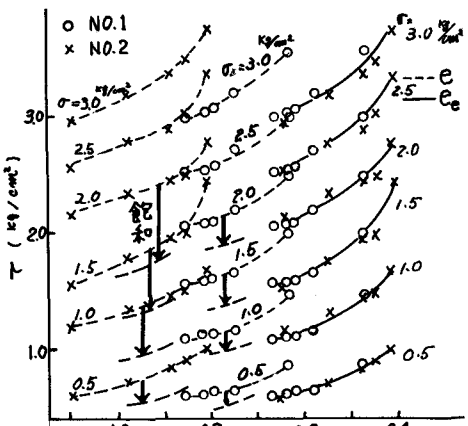


図-3

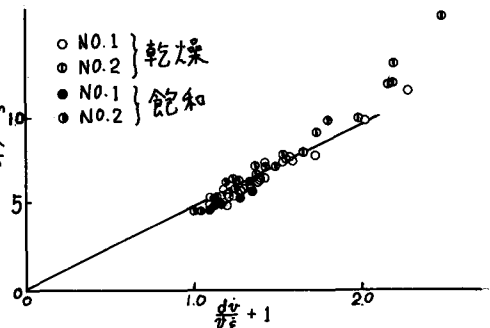


図-4

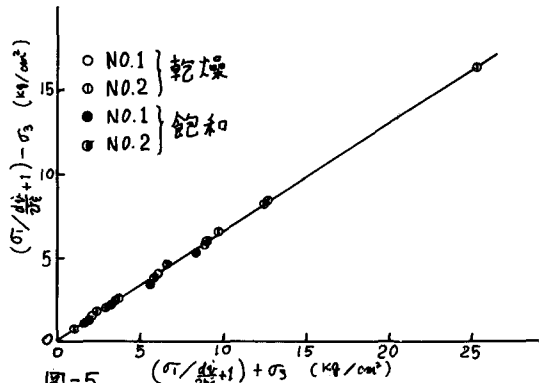


図-5